

人工軽量骨材コンクリートの乾燥収縮と拘束ひびわれ

鳥取大学 正員 工修 ○阪田 憲次
 鳥取大学 正員 工博 木山 英郎
 鳥取大学 正員 工博 西林 新蔵

1. はじめに

近年、コンクリート構造物の軽量化に対する要望が深まり、これに伴って人工軽量骨材を用いたコンクリートが、土木構造物の構造主体として利用されるようになって。一方、設計上の問題点としては、引張強度および弾性係数が普通コンクリートに比べて小さいことに起因する、弾性係数比(n)、ひびわれ耐力、斜めひびわれ耐力、広わせ等が挙げられる。また、乾燥収縮、表-1 試験条件

収縮、クリープも重要な問題である。

本研究は、人工軽量骨材の吸水量、吸水状態、環境条件および水セメント比等がコンクリート、モルタルおよびセメントペーストの乾燥収縮、強度および弾性係数におよぼす影響、ひびわれにおよぼす影響ならびに乾燥収縮とひびわれの関係等について総合的に検討したものである。

2. 実験概要

本実験に使用した骨材は、天然骨材(吸水量：粗骨材；1.21%，細骨材；1.23%)、造粒型人工軽量骨材ライオナイト(吸水量：粗骨材：

2.30%，細骨材；4.00%)、非造粒型人工軽量骨材宇部輕骨(吸水量：粗骨材；13.0%，細骨材；11.5%)の3種類で、その他試験条件は、表-1に示す通りである。

コンクリート、モルタルおよびセメントペーストの配合を表-2に示す。コンクリートの配合は、単位セメント量を350kg/m³(一定)とし、各水セメント比によって単位水量を決め、さらにコンクリート中に含まれる粗骨材の体積を一定とし、残りを細骨材で充てんする旨考慮した。モルタルの配合は、上記コンクリート中のモルタルと同じ配合とした。

供試体は打設後直ちに温度20°C、湿度90±5% (H), 50±5% (L)の恒温、恒湿室に搬入し、24時間後に脱型し、直ちに乾燥収縮の測定を開始した。ひびわれ観測用の拘束供試体は図-1に示すように、コンクリート(モルタル、セメントペースト)中にボルトを埋め込み、鋼製の型ワクにナットで固定して变形を拘束し、乾燥収縮により発生する応力によって供試体中央部にひびわれが発生するよう考慮し、乾燥収縮測定用供試体と同様に保存し、ひびわれを観察した。1種類の面中3面にひびわれが発生した日をもって、ひびわれ発見日と定めた。また、強度測定用の供試体も同様に

供試体種別	セメントペースト (CP)	モルタル (M)	コンクリート (C)
骨材の種類	天然骨材 (N)	ライオナイト (L)	宇部輕骨 (U)
水セメント比	3.0...セメントペースト 2.6...モルタル 5.0...コンクリート		
骨材の吸水状態	乾燥 (D) 湿潤 (M) 蒸乾 (A)		
環境条件	90±5% (H) (湿度)	50±5% (L) 温度は20°Cとする	

表-2 配合表 ホーリス No.8
CX 0.25%

供試体	示方配合				
	C	M	S/A	S	G
CN	40	350	14.0	4.6	860
	50	"	19.5	4.3	771
	60	"	21.0	4.0	681
CLD	40	"	14.0	4.6	565
	50	"	17.5	4.3	525
	60	"	21.0	4.0	447
CLM	40	"	14.0	4.6	579
	50	"	17.5	4.3	516
	60	"	21.0	4.0	492
CLA	40	"	14.0	4.6	588
	50	"	17.5	4.3	527
	60	"	21.0	4.0	460
CUO	40	"	14.0	4.6	527
	50	"	17.5	4.3	473
	60	"	21.0	4.0	413
CUM	40	"	14.0	4.6	558
	50	"	17.5	4.3	500
	60	"	21.0	4.0	460
CUA	40	"	14.0	4.6	588
	50	"	17.5	4.3	527
	60	"	21.0	4.0	455
MN	40	574	2.31		1411
	50	"	2.89		1370
	60	"	3.46		1221
MLO	40	"	2.31		529
	50	"	2.88		433
	60	"	3.46		325
MLM	40	"	2.31		548
	50	"	2.88		450
	60	"	3.46		345
MLA	40	"	2.31		566
	50	"	2.88		466
	60	"	3.46		358
MUO	40	"	2.31		568
	50	"	2.88		477
	60	"	3.46		368
MUM	40	"	2.31		578
	50	"	2.88		484
	60	"	3.46		375
MUA	40	"	2.31		568
	50	"	2.88		469
	60	"	3.46		352
P	30	1619	4.86		
	40	1367	5.66		
	50	1222	6.12		

保存し、打設後半週目にひびわれ発見日に、圧縮強度(σ_c)、引張強度(splittting test)、弾性係数(E_t)を測定した。

3. 実験結果と考察

実験は現在継続中で、すでに一部その結果が出たものについて述べることにし、本研究の全容については後日報告する。図-2はセメントペーストの乾燥収縮と時間の関係を示したものである。従来より指摘されていふように、乾燥収縮は、供試体と環境との間の湿度勾配に起因するシーページ効果であるといふことが、この図からもわかる。すなはち、低温の場合は水セメント比の相違による乾燥収縮の差が顕著にあらわれるが、高温の場合はその差要かあらわれない。また、水セメント比が大なるものではその立ち上がりが小さく、逆に水セメント比が小なるものでは立ち上がりが大きいことからも乾燥収縮の機構からシーページ現象であることがうかがわれる。つきに表-3に拘束ひびわれ実験の結果を示した。ひびわれ発見日に測定した弾性係数(E_t)より供試体の断面縮小によるひびき伸率(α)を求め、ひびわれ発見日の乾燥収縮ひびき(ϵ_c)より、次式によつて拘束供試体中に発生していふ応力(σ)を求めた。

$$\sigma = E_t \epsilon_c = E_t \alpha \cdot \epsilon_c \quad \dots \dots (1)$$

さらにひびわれ発見日の強度(σ_c)との比(ひびわれに対する抵抗値)を求めて、

$$\sigma/\sigma_c = E_t \alpha \cdot \epsilon_c / \sigma_c \quad \dots \dots (2)$$

いま、圧縮強度との比をみると、低温中のものでは、0.25~0.35の範囲にあるが、高温中のもの(P-30(H), P-50(H))はそれよりも大きな値になっていふ。これは、低温中のものは内部構造がまだ十分に安定に達していない若材令(3日~5日)でひびわれが発生したのに対し、高温中のものは材令がさらに進んで後であるため、内部構造のひびわれに対する抵抗性が大きくなつたことに起因するものであると考えられる。このことは、材令28日の値で計算したP-30(H)の抵抗値が0.29であるが、まだひびわれを発生していないうちからもうひびわれれる。さらに、材令のみならず、養生の相違による供試体内部の結晶構造の差異の影響も考えられる。

まことにひびわれに対する抵抗値は、供試体の拘束の程度、引張クリープ、伸び能力等の影響を考慮して求めなければならぬ。とくに、若材令におけるクリープの影響は大きくなると思われる。それらについて現在検討中であり、表-2に示したすべての供試体についての実験を終了した後、あらためて報告するつもりである。

図-1 供試体寸法 (単位:mm)

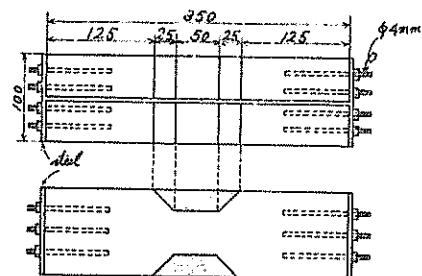


図-2 乾燥収縮-時間曲線 (セメントペースト)

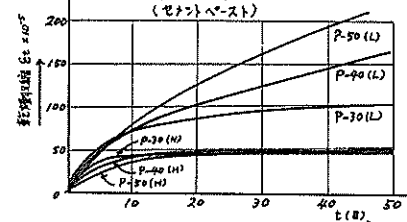


表-3 実験結果

供試体	σ_c (kg/cm ²)	E_t (kg/cm ²)										
P L 50	174	21.4	459	1.98	24.6	44.6	173	22.0	182.6	0.21	5.80	
-30 H 659	247	38.5					(44.0)	(1.11)	(98.5)	(19.6)	(0.29)	(5.02)
P L 250	104	16.7	257	1.97	13.6	30.5	176	52.7	73.6	0.29	5.41	
-40 H 381	192	21.3	321	1.80	23.9	44.1	173	77.8	142.6	0.95	6.01	
P L 131	0.94	12.6	144	1.02	11.9	25.5	1.80	45.9	44.8	0.33	3.93	
-50 H 234	172	12.5	180	1.61	19.4	37.8	1.76	63.9	90.1	0.50	4.66	
CLA L 219	160	18.9										
-40 H 288	224	26.6										
CLA L 100	129	13.4										
-50 H 216	171	26.6										
CLA L 100	129	14.0										
-60 H 153	174	12.8										
CUA L			225	1.31	21.4	22.9	1.77	40.5	53.1	0.24	2.43	
-40 H												
CUA L			130	1.06	15.9	21.6	1.80	33.9	44.2	0.32	2.57	
-50 H												
CUA L			150	1.11	23.4	22.9	1.79	44.0	45.6	0.30	3.45	
-60 H												